

図1 (85) Io 2023年12月23日 20h24m25s UT DAMIT Model 1822 ($\lambda = 92$ 、 $\beta = -68$)
 $P = 219^\circ$ 、 $\beta_e = +10^\circ$ 、 $\lambda_e = +6^\circ$ 、Scale Factor 1:1、 $k = 0.979$ 、 $B = 109.2^\circ$

(85) Io

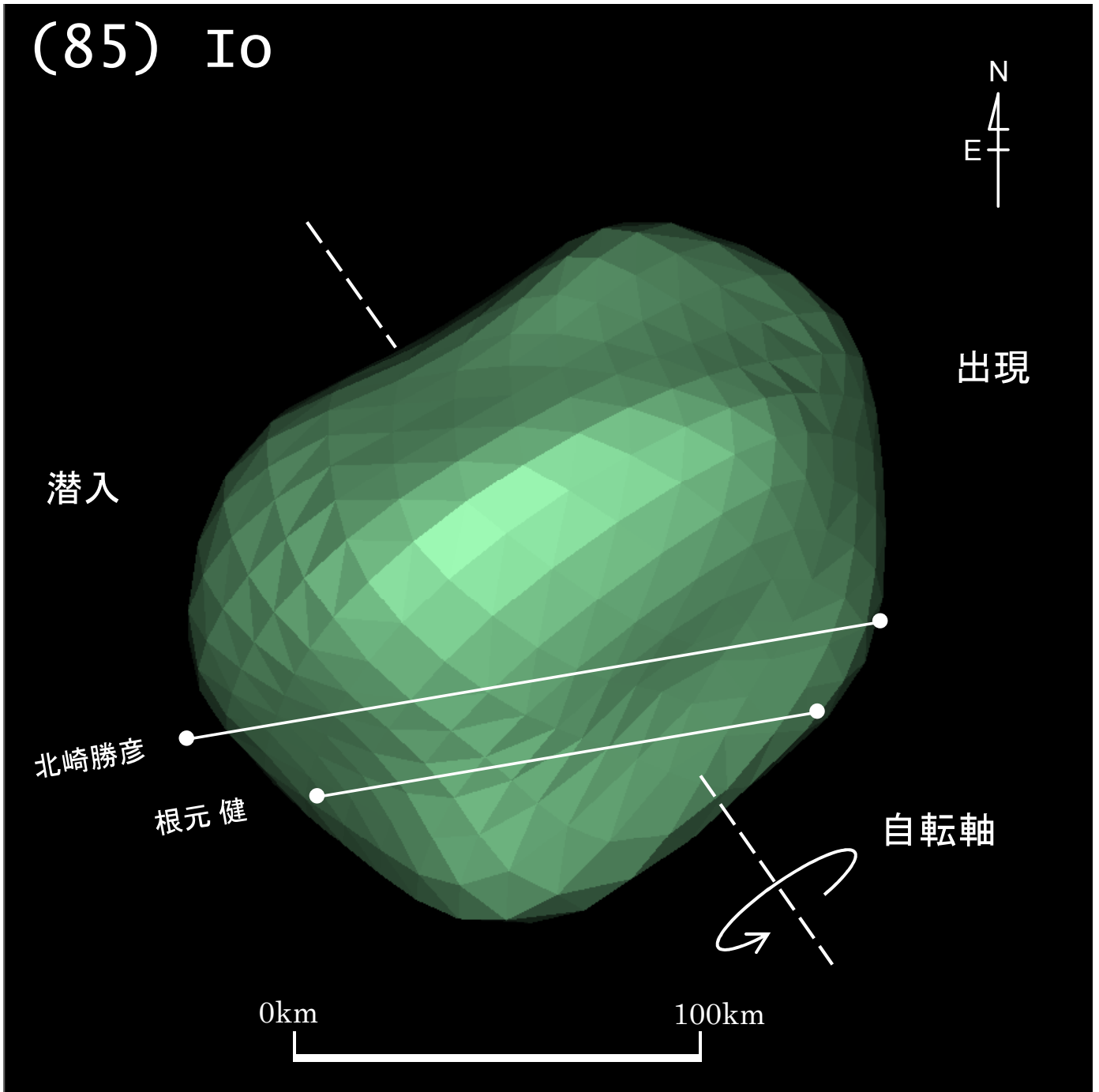


図2 (85) Io 2024年1月21日 18h51m08s UT DAMIT Model 1822 ($\lambda = 92$ 、 $\beta = -68$)
 $P = 215^\circ$ 、 $\beta_e = +14^\circ$ 、 $\lambda_e = +22^\circ$ 、Scale Factor 1: 1、 $k = 0.971$ 、 $B = 107.8^\circ$

(85) Io

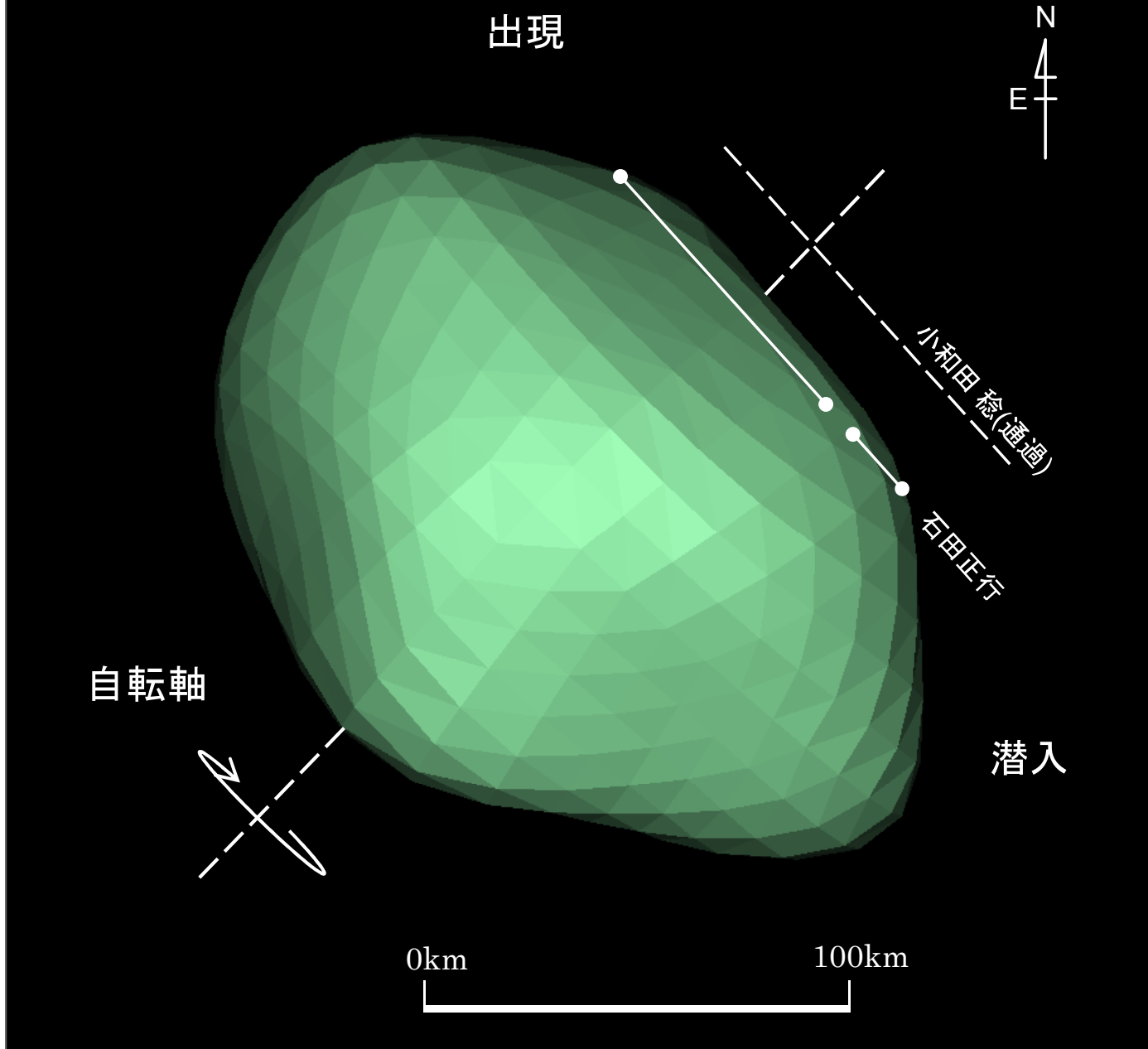


図3 (85) Io 2012年10月19日 17h35m09s UT DAMIT Model 1822 ($\lambda = 92$ 、 $\beta = -68$)
 $P = 136.0^\circ$ 、 $\beta_e = -4.4^\circ$ 、 $\lambda_e = -85.7^\circ$ 、Scale Factor 1:1、 $k = 0.998$ 、 $B = 252.9^\circ$

(85) Io



出現

潜入

R.Sandy
T.Martinez
G.Nason
F.Dempsey

T.Wilson
D.Kniffen
J.Stamm
D.Harvey

自转轴

0km

100km

図4 (85) Io 1995年12月10日 0h42m58s UT DAMIT Model 1822 ($\lambda = 92$ 、 $\beta = -68$)
 $P = 150^\circ$ 、 $\beta_e = -28^\circ$ 、 $\lambda_e = -111^\circ$ 、Scale Factor 1:1、 $k = 0.992$ 、 $B = 232.9^\circ$

(12)Victoria



出現

潜入

吉原秀樹

堀川利裕

自転軸

0km

100km

図5 (12) Victoria 2023年12月21日 18h50m55s UT VLT SPHERE Model ($\lambda = 178$ 、 $\beta = -28$)
 $P = 232^\circ$ 、 $\beta_e = -66^\circ$ 、 $\lambda_e = -206^\circ$ 、Scale Factor 1: 1、 $k = 0.965$ 、 $B = 112.0^\circ$

(12)victoria

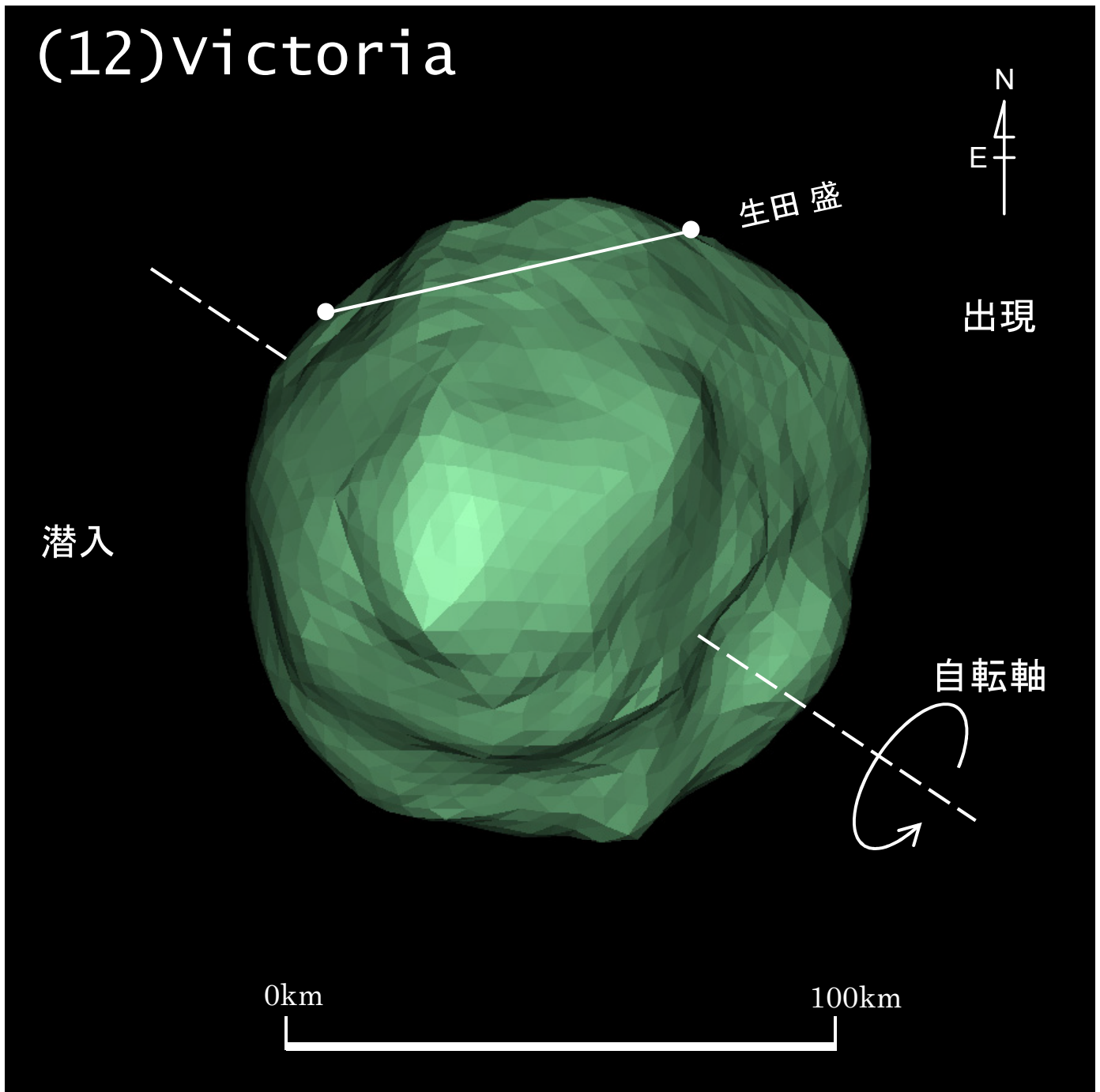


図6 (12) Victoria 1996年9月21日 10h04m12s UT VLT/SPHERE Model ($\lambda = 178$ 、 $\beta = -28$)
 $P = 235^\circ$ 、 $\beta_e = +31^\circ$ 、 $\lambda_e = -331^\circ$ 、Scale Factor 1:1、 $k = 0.937$ 、 $B = 266.7^\circ$

(3) Juno

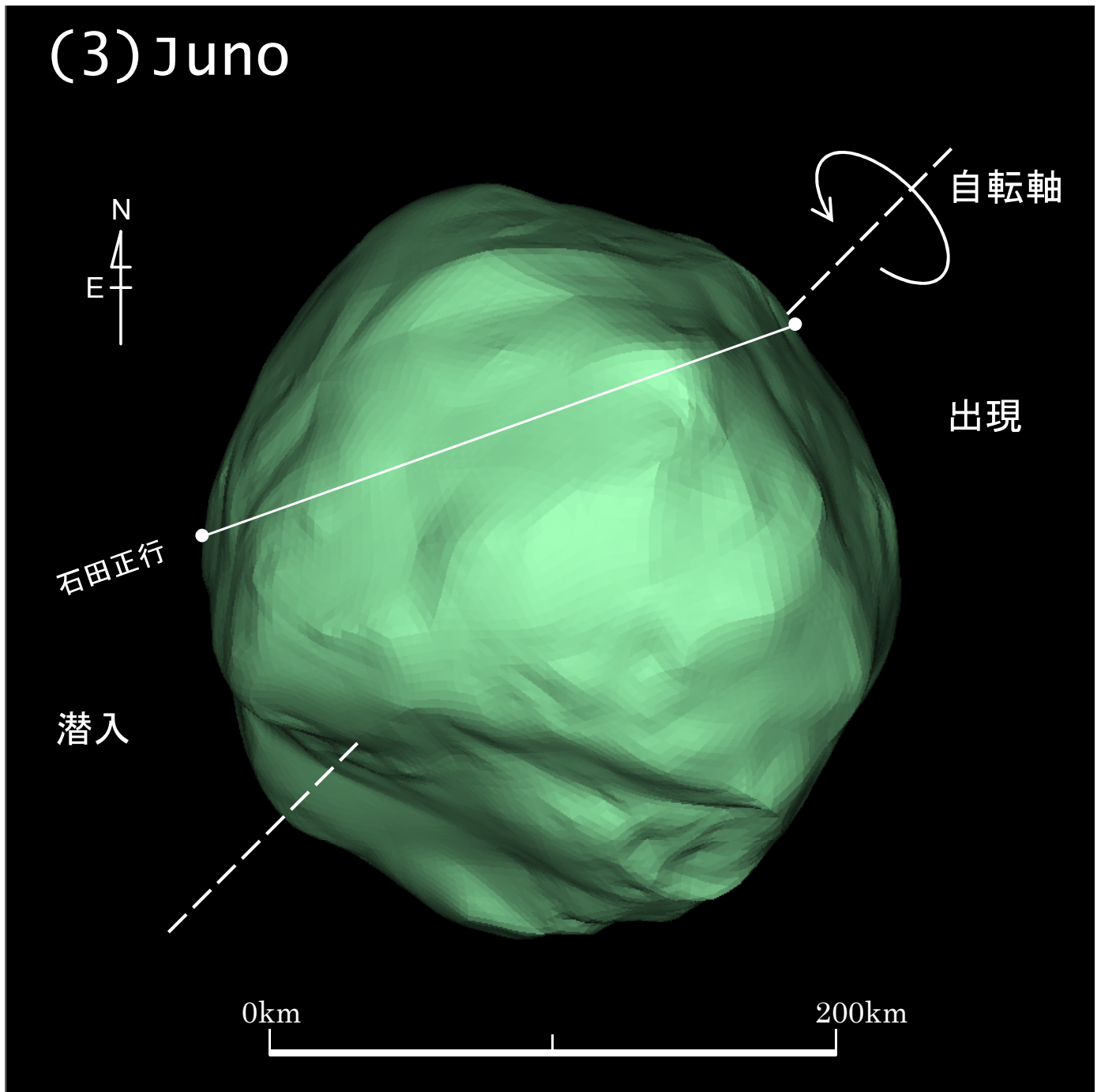


図7 (3) Juno 2023年11月17日 20h35m05s UT VLT/SPHERE Model ($\lambda = 103.7$ 、 $\beta = +16.7$)
 $P = 315^\circ$ 、 $\beta_e = -28^\circ$ 、 $\lambda_e = +33^\circ$ 、Scale Factor 1:1、 $k = 0.959$ 、 $B = 110.2^\circ$

(480) Hansa

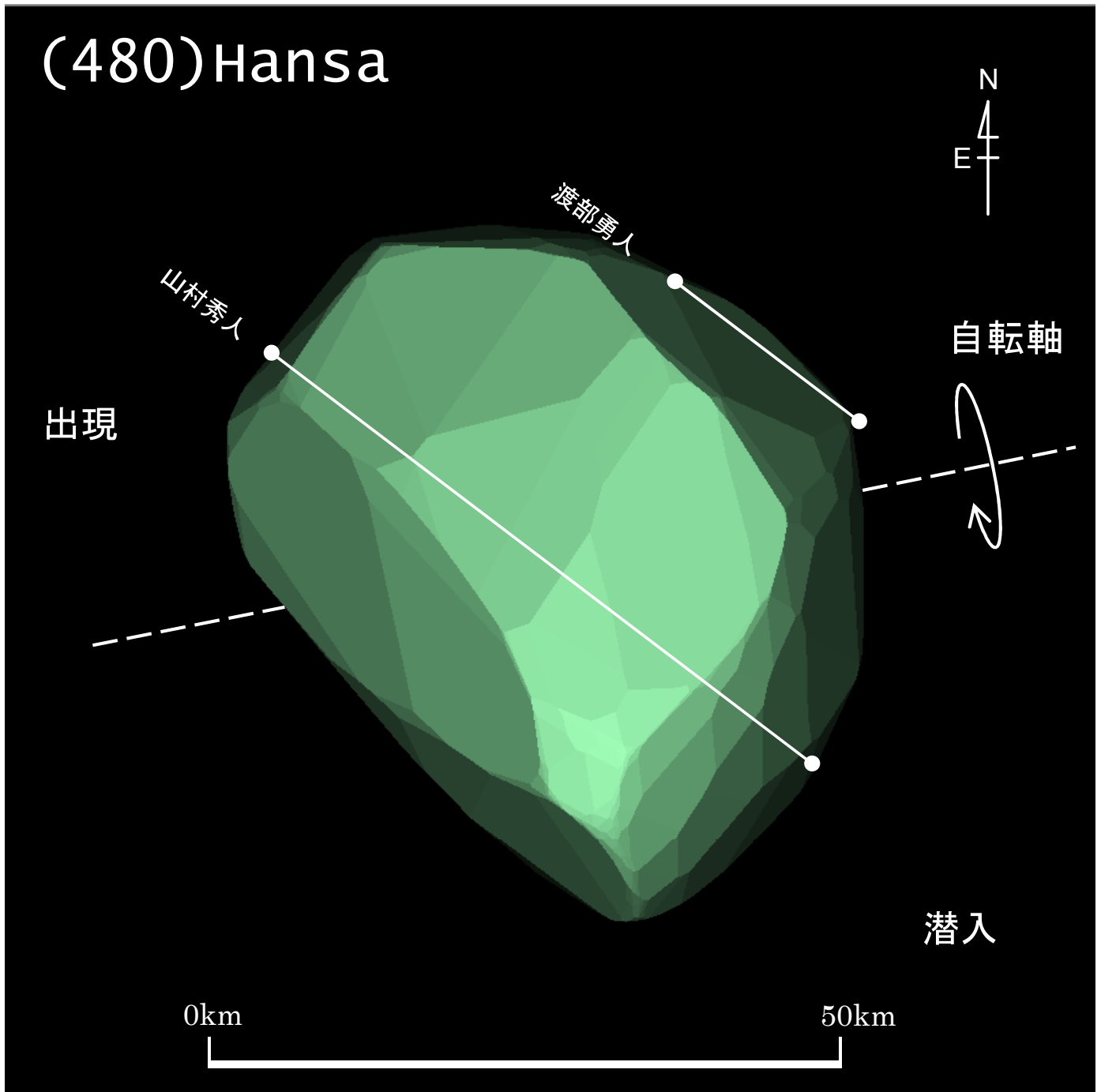


図8 (480) Hansa 2023年11月26日 13h28m39s UT DAMIT Model 927 ($\lambda = 352$ 、 $\beta = +18$)
 $P = 281^\circ$ 、 $\beta_e = -9^\circ$ 、 $\lambda_e = +153^\circ$ 、Scale Factor 1: 43.0、 $k = 0.999$ 、 $B = 128.4^\circ$

(267) Tirza

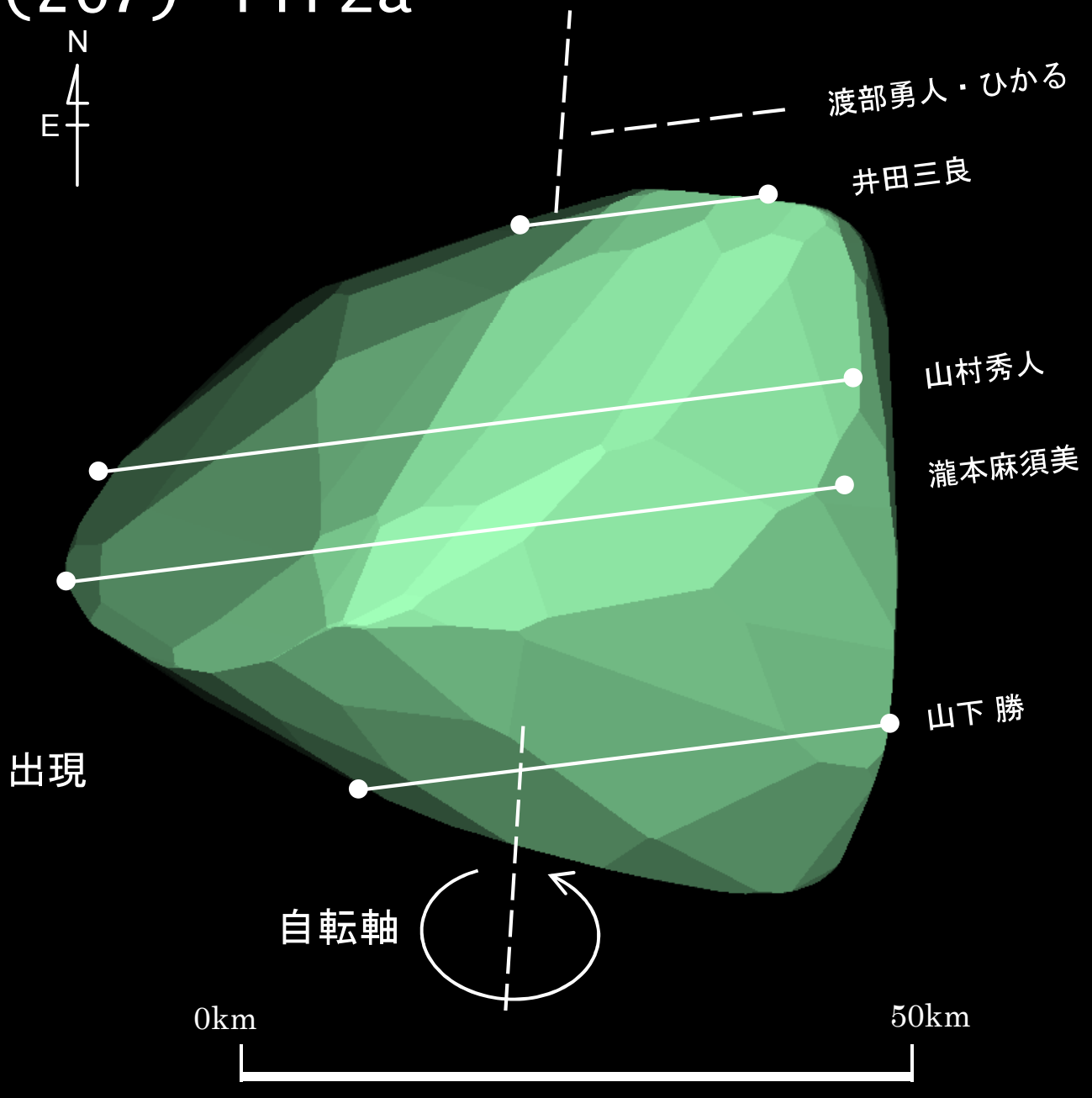
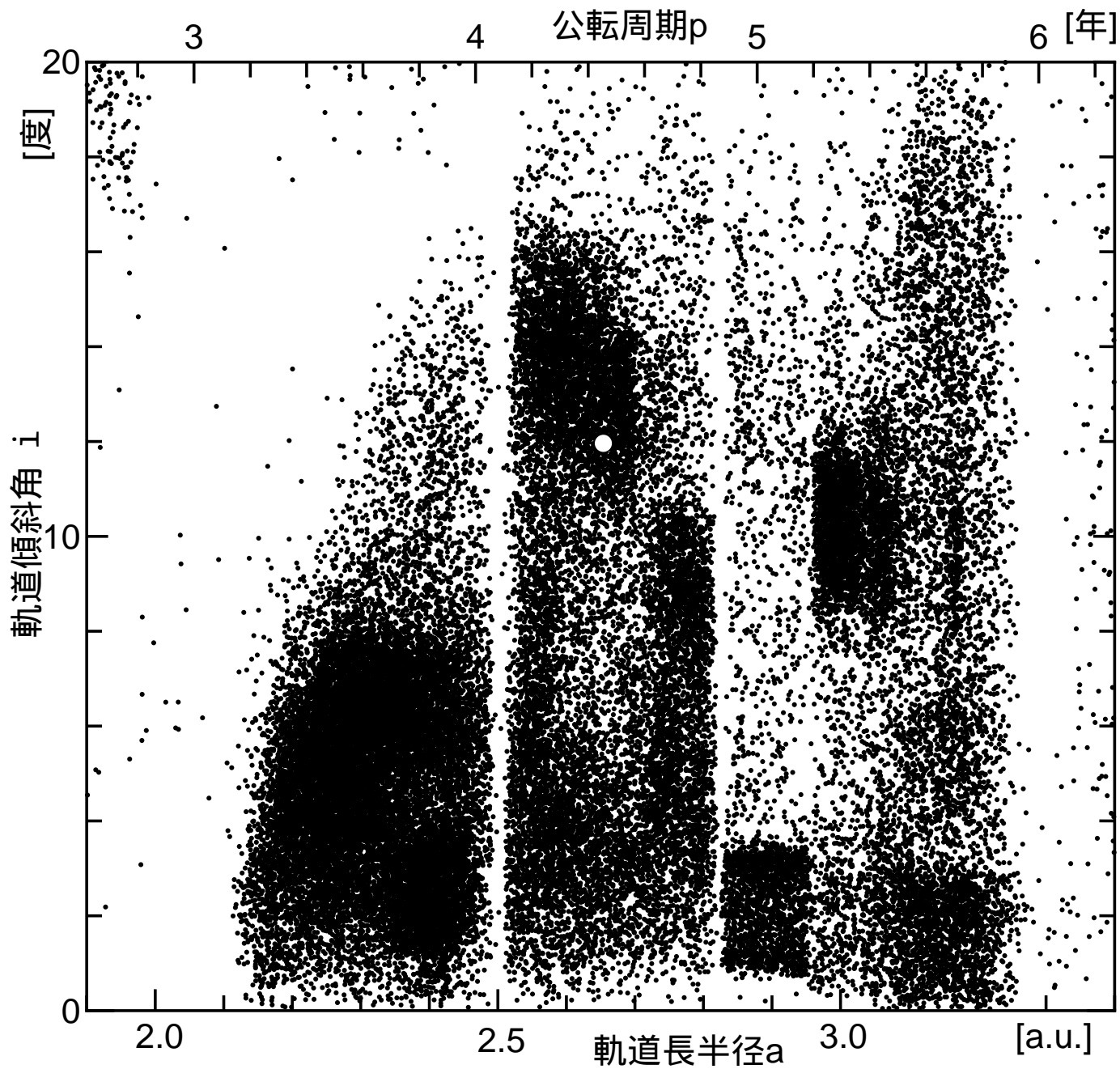


図9 (267) Tirza 2023年12月29日 14h48m38s UT DAMIT Model 4960 ($\lambda = 99$, $\beta = -38$)
 $P = 176^\circ$, $\beta_e = +48^\circ$, $\lambda_e = +41^\circ$, Scale Factor 1: 39.8, $k = 1.00$, $B = 304.9^\circ$

図10 メインベルト小惑星の分布



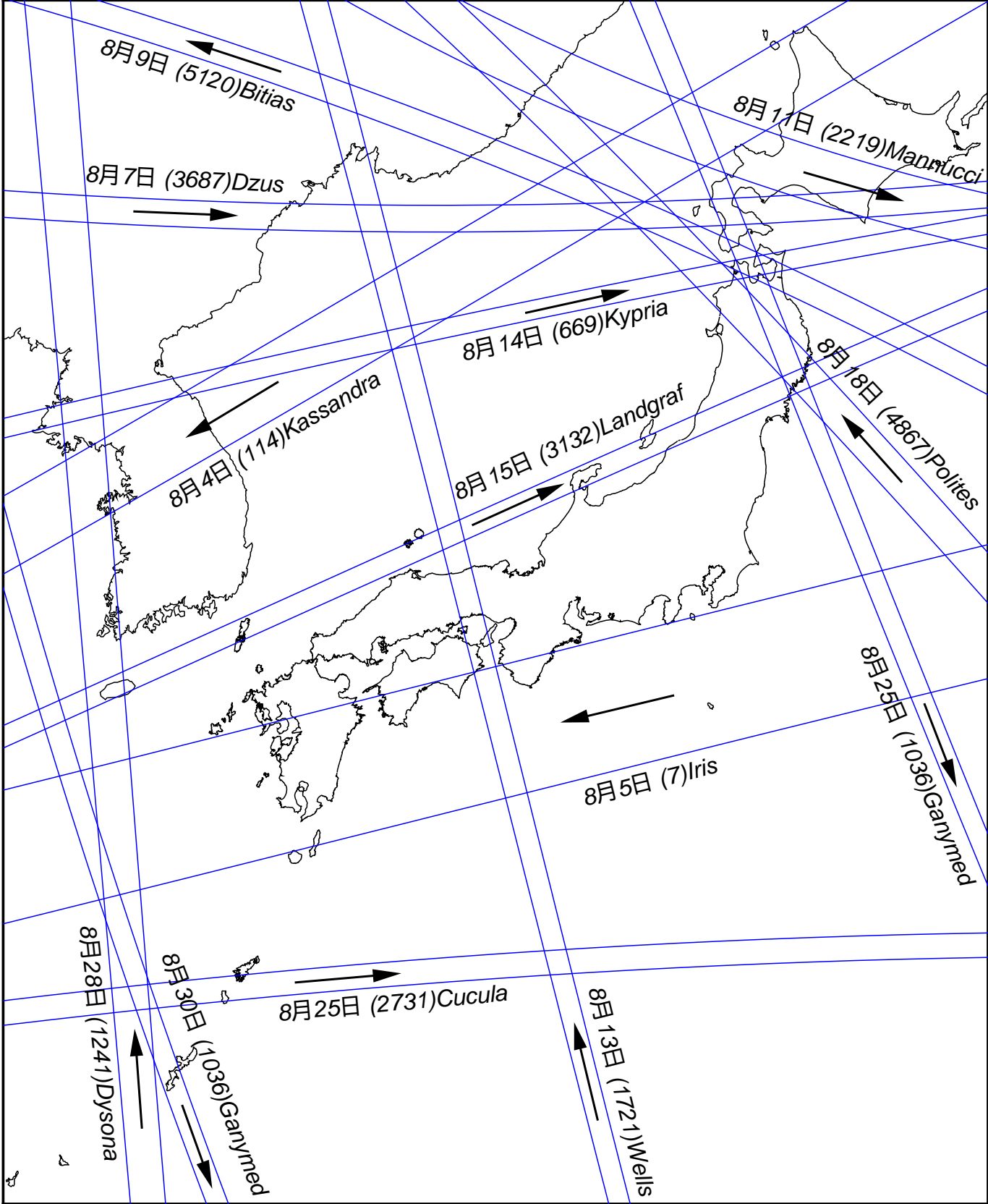


図11 小惑星による主な掩蔽帯経路 (S.Preston予報ほか) 2024年8月
 矢印は影の移動方向を示す